

第七讲 里程估计

李亮

浙江大学控制科学与工程学院

里程估计(ODOMETRY)

- 根据传感器感知信息推导机器人位姿（位置和角度）变化
- 用途：
 - 航位推算 (Dead-reckoning): 基于已知位置，利用里程估计，推算现在位置



为什么不用发送给机器人的运动控制指令进行航位推算？

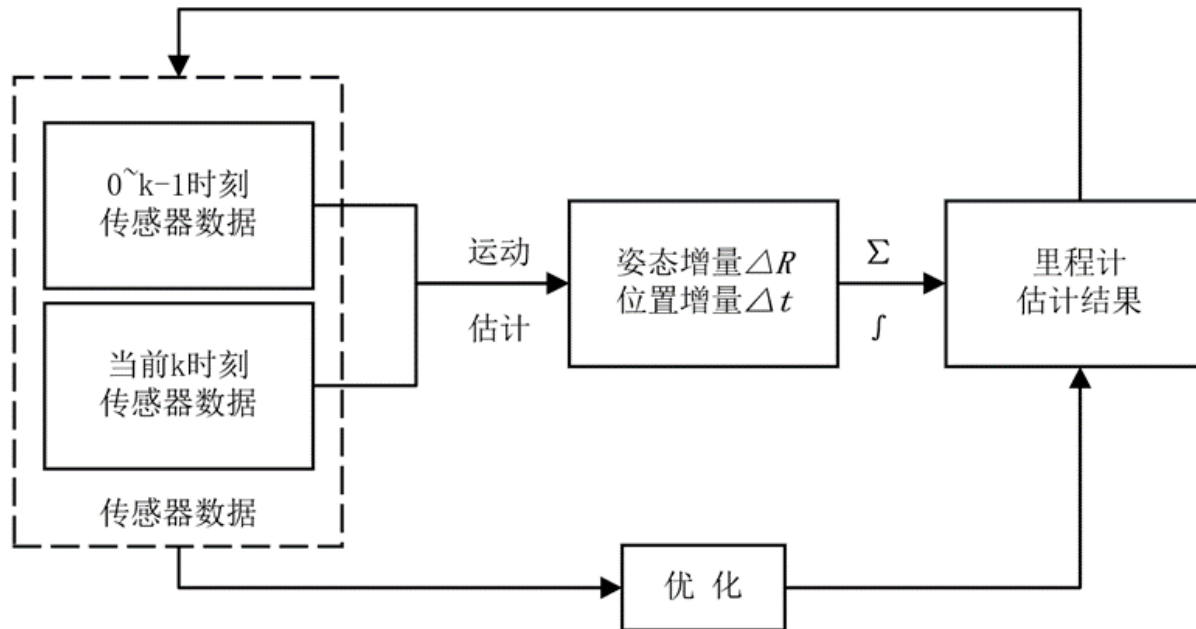
$$\begin{pmatrix} x' \\ y' \\ \theta' \end{pmatrix} = \begin{pmatrix} x - \frac{v}{\omega} \sin(\theta) + \frac{v}{\omega} \sin(\theta + \omega \Delta t) \\ y + \frac{v}{\omega} \cos(\theta) - \frac{v}{\omega} \cos(\theta + \omega \Delta t) \\ \theta + \omega \Delta t \end{pmatrix}$$

由于控制的滞后性和可能存在超调，
机器人实际执行控制指令与发送控制指令存在偏差

最早的里程估计：根据码盘获得实际执行速度进行位姿变化估计

里程估计方法

○ 基本思路



里程估计方法

- 基于机器人运动感知信息，结合运动学模型
 - 电机码盘（**轮式里程计**）
 - IMU（惯性单元，加速度计+陀螺仪）（**惯性里程计**）
- 基于环境感知传感器信息，通过最佳匹配估计
 - 激光里程计（**LO**）
 - 视觉里程计（**VO**）



位姿变化的数学描述

二维平面运动 $(\Delta x, \Delta y, \Delta \theta)$

三维空间运动 $(\Delta x, \Delta y, \Delta z, \Delta \alpha, \Delta \beta, \Delta \gamma)$

一般统一表示为旋转矩阵和平移向量形式 R, t

$$R = \begin{bmatrix} r_{11} & r_{12} & r_{13} \\ r_{21} & r_{22} & r_{23} \\ r_{31} & r_{32} & r_{33} \end{bmatrix}, t = [\Delta x, \Delta y, \Delta z]^T$$

$$x' = Rx + t \quad \textcolor{red}{RR^T = I}$$



旋转矩阵与姿态变化关系

绕x轴旋转(roll, 滚动角)

$$R_x = \begin{bmatrix} 1 & 0 & 0 \\ 0 & \cos\theta & -\sin\theta \\ 0 & \sin\theta & \cos\theta \end{bmatrix}$$

绕y轴旋转(pitch, 俯仰角)

$$R_y = \begin{bmatrix} \cos\theta & 0 & \sin\theta \\ 0 & 1 & 0 \\ -\sin\theta & 0 & \cos\theta \end{bmatrix}$$

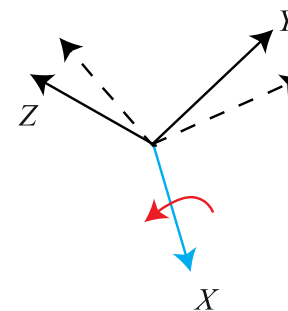
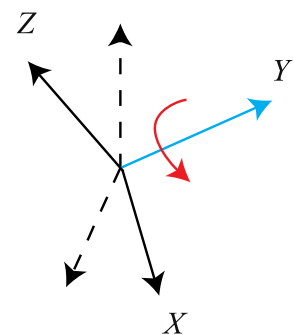
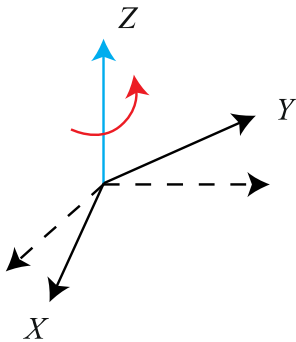
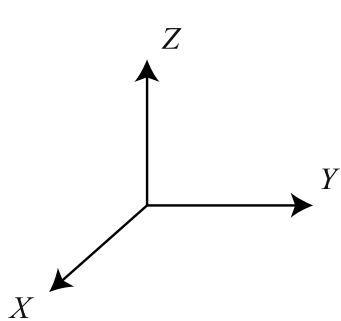
绕z轴旋转(yaw, 偏航角)

$$R_z = \begin{bmatrix} \cos\theta & -\sin\theta & 0 \\ \sin\theta & \cos\theta & 0 \\ 0 & 0 & 1 \end{bmatrix}$$

$$R = R_z(\Delta\gamma)R_y(\Delta\beta)R_x(\Delta\alpha)$$



旋转矩阵与姿态变化关系



$$R = R_x(\Delta\gamma)R_y(\Delta\beta)R_z(\Delta\alpha)$$

里程估计问题

根据感知信息求旋转矩阵和平移向量 R, t

$$R = \begin{bmatrix} r_{11} & r_{12} & r_{13} \\ r_{21} & r_{22} & r_{23} \\ r_{31} & r_{32} & r_{33} \end{bmatrix}, t = [\Delta x, \Delta y, \Delta z]^T$$

根据旋转矩阵求姿态变化



由旋转矩阵求欧拉角

$$R = \begin{bmatrix} r_{11} & r_{12} & r_{13} \\ r_{21} & r_{22} & r_{23} \\ r_{31} & r_{32} & r_{33} \end{bmatrix} = \begin{bmatrix} c_y c_z & c_z s_x s_y - c_x s_z & s_x s_z + c_x c_z s_y \\ c_y s_z & c_x c_z + s_x s_y s_z & c_x s_y s_z - c_z s_z \\ -s_y & c_y s_x & c_x c_y \end{bmatrix}$$

求解方程可得

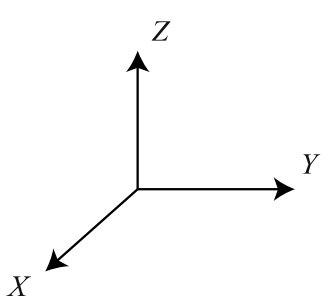
$$\Delta\alpha = \text{atan2}(r_{32}, r_{33})$$

$$\Delta\beta = \text{atan2}\left(-r_{31}, \sqrt{r_{32}^2 + r_{33}^2}\right)$$

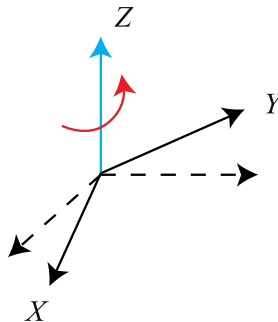
$$\Delta\gamma = \text{atan2}(r_{21}, r_{11})$$



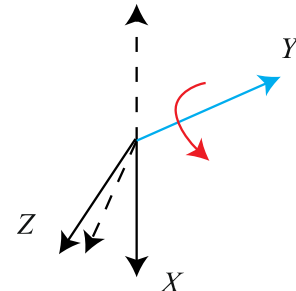
欧拉角表示存在奇异性



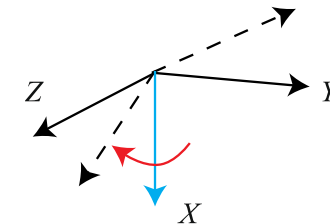
原始坐标系



第一次旋转



第二次旋转



第三次旋转

当俯仰角为 $\pm 90^\circ$ 时，第一次旋转与第三次旋转将使用同一个轴，使系统丢失了一个自由度，也称为万向锁问题



四元数表示法

- 实际应用时通常采用四元数表示法
- 爱尔兰数学家William Rowan Hamilton于1843年提出
- 出发点：三维空间的任意旋转，都可以用绕三维空间的某个轴旋转过某个角度来表示，即表示为旋转向量

$$(\theta, n_x, n_y, n_z)^T$$

$n = (n_x, n_y, n_z)$ 为旋转轴单位向量

θ 为旋转角度



四元数表示法

- 用复数集表示复平面上的向量，复数的乘法可表示复平面上的旋转

四元数 $q = (q_0, q_1, q_2, q_3)^T$

$$q = q_0 + q_1 i + q_2 j + q_3 k$$

实部为零时，称为虚四元数

$$\begin{cases} i^2 = j^2 = k^2 = -1 \\ ij = k, ji = -k \\ jk = i, kj = -i \\ ki = j, ik = -j \end{cases}$$



四元数下的旋转矩阵

- 采用单元四元数表示旋转轴

$$q = (q_0, q_1, q_2, q_3)^T = (\cos \frac{\theta}{2}, \mathbf{n}_x \sin \frac{\theta}{2}, \mathbf{n}_y \sin \frac{\theta}{2}, \mathbf{n}_z \sin \frac{\theta}{2})^T$$

- 把三维空间点用一个虚四元数表示 $p = (0, x, y, z)$
- 旋转后的点 p' 可表示为 $p' = qpq^{-1}$
- 利用四元数可避免对旋转欧拉角的解算，直接进行旋转变换

四元数下的旋转矩阵

$$R = \begin{bmatrix} 1 - 2q_2^2 - 2q_3^2 & 2q_1q_2 + 2q_0q_3 & 2q_1q_3 - 2q_0q_2 \\ 2q_1q_2 - 2q_0q_3 & 1 - 2q_1^2 - 2q_3^2 & 2q_2q_3 + 2q_0q_1 \\ 2q_1q_3 + 2q_0q_2 & 2q_2q_3 - 2q_0q_1 & 1 - 2q_1^2 - 2q_2^2 \end{bmatrix}$$



根据旋转矩阵R求解四元数

$$q_0 = \frac{\sqrt{tr(R) + 1}}{2}$$

$$q_1 = \frac{r_{23} - r_{32}}{4q_0}$$

$$q_2 = \frac{r_{31} - r_{13}}{4q_0}$$

$$q_3 = \frac{r_{12} - r_{21}}{4q_0}$$

其中 $q_0 \neq 0$,

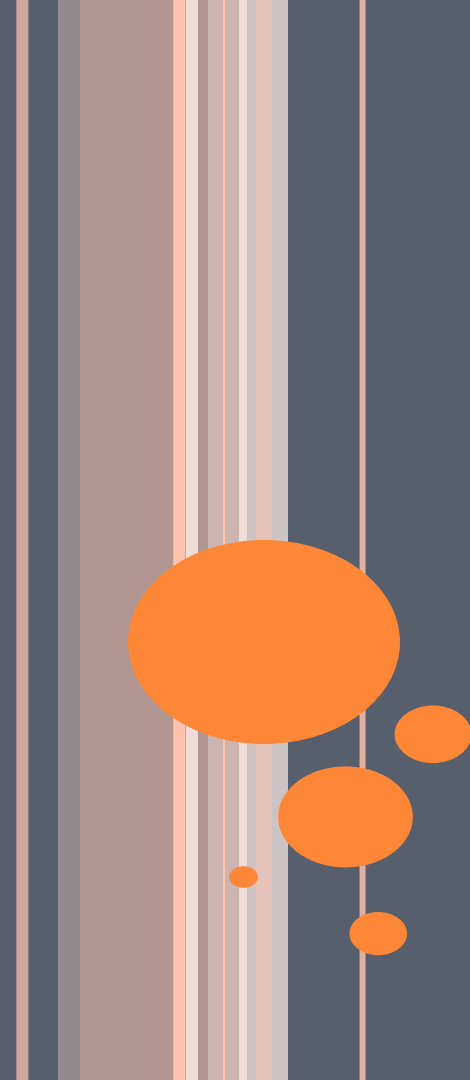
$$1 + r_{11} + r_{22} + r_{33} > 0$$



四元数表示的优点

- 表达更紧凑
- 求解无奇异
- 计算更快速

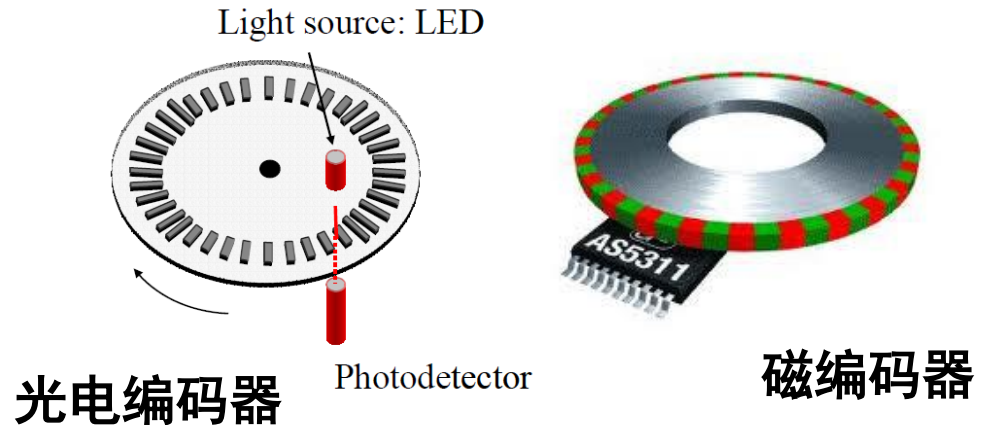




7.1 基于运动感知的里程估计

基于电机码盘的轮式移动机器人里程估计

- (1) 根据电机码盘获得轮子转速



光电编码器

Photodetector

磁编码器

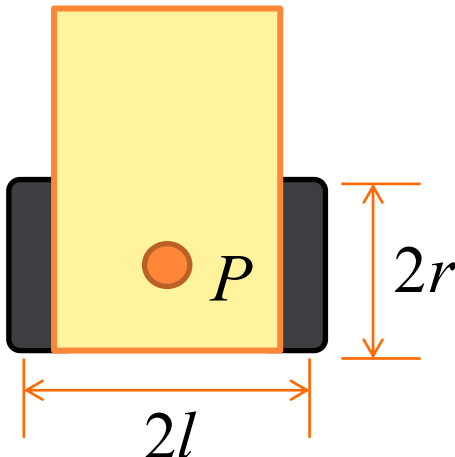
$$\dot{\phi} = \frac{2\pi n}{\eta}$$

n 码盘测量得到的电机转速
(转/分)

η 齿轮减速比

基于电机码盘的轮式移动机器人里程估计

- (2) 结合运动学模型计算参考点速度
- (3) 假设短时间片内为匀速运动，计算位姿变化



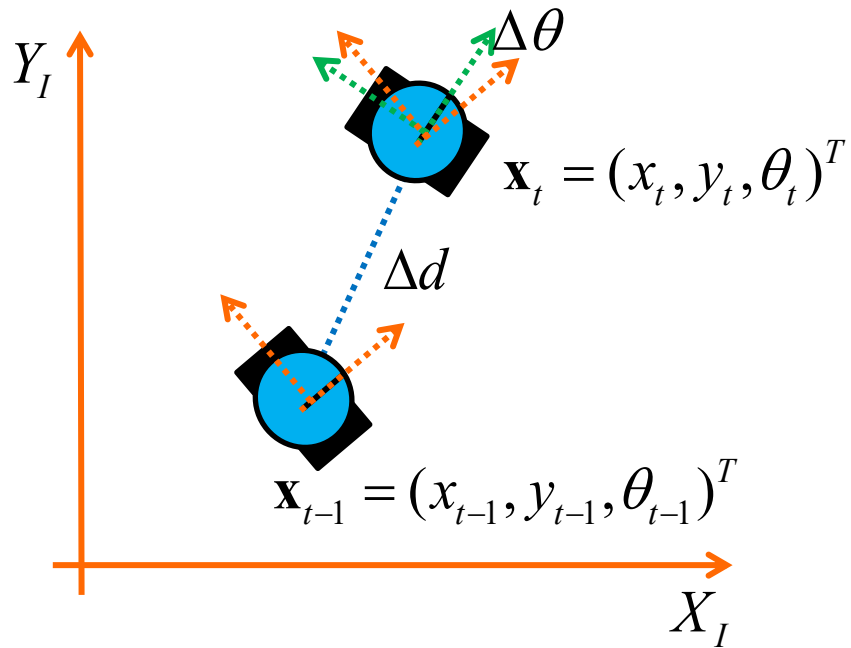
$$v = \frac{r\dot{\phi}_l}{2} + \frac{r\dot{\phi}_r}{2}$$

$$w = \frac{r\dot{\phi}_l}{2l} - \frac{r\dot{\phi}_r}{2l}$$

$$\Delta d = v\Delta t, \Delta \theta = w\Delta t$$



基于位姿变化的航位推算



$$\begin{cases} x_t = x_{t-1} + \Delta d \cos(\theta_{t-1} + \Delta\theta) \\ y_t = y_{t-1} + \Delta d \sin(\theta_{t-1} + \Delta\theta) \\ \theta_t = \theta_{t-1} + \Delta\theta \end{cases}$$

轮式里程估计误差

- 系统误差

- 轮半径误差
- 轮子安装精度误差（不平行，两边距离不相等）
- 编码器精度误差
- 采样精度误差
- 齿轮减速比精度

- 偶然误差

- 地面不平
- 轮子打滑
-

$$v = \frac{r\dot{\phi}_l}{2} + \frac{r\dot{\phi}_r}{2}$$

$$w = \frac{r\dot{\phi}_l}{2l} - \frac{r\dot{\phi}_r}{2l}$$

$$\Delta d = v\Delta t, \Delta \theta = w\Delta t$$

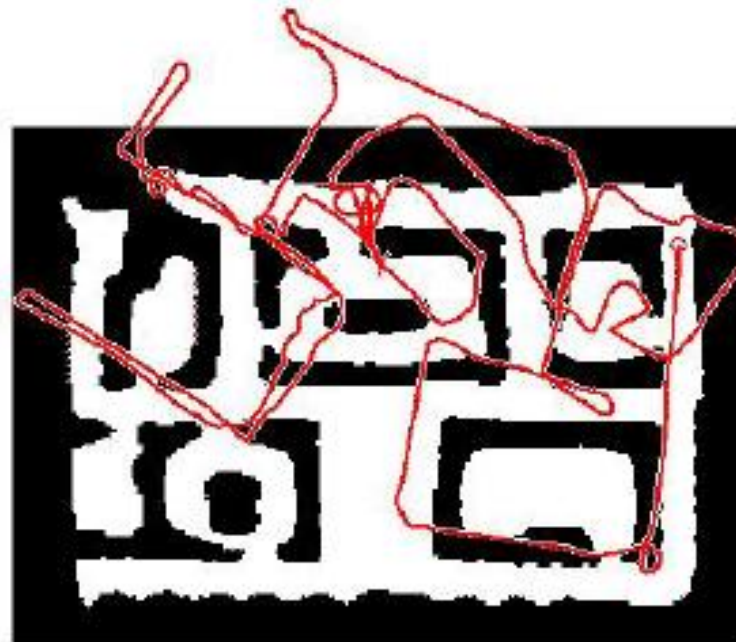
$$\dot{\phi} = \frac{2\pi n}{\eta}$$



里程计估计误差导致问题

- 在航位推算时，里程计误差被累加，推算随着时间而增长

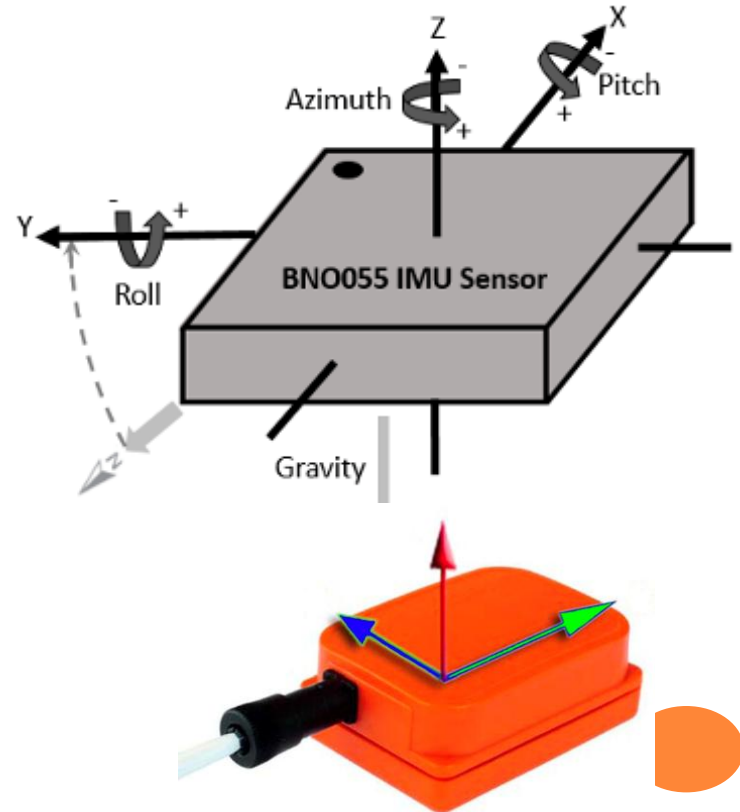
$$\begin{cases} x_t = x_{t-1} + \Delta d \cos(\theta_{t-1} + \Delta\theta) \\ y_t = y_{t-1} + \Delta d \sin(\theta_{t-1} + \Delta\theta) \\ \theta_t = \theta_{t-1} + \Delta\theta \end{cases}$$



基于惯性单元的里程估计

○ 惯性单元IMU

- Inertial Measurement Unit
- 一般含有三轴的加速度计和三轴的陀螺仪
- 通常集成一个三轴磁力计用于校正 IMU 的姿态估计
- 通过积分运算可得载体在导航坐标系中的姿态、速度和位置等信息



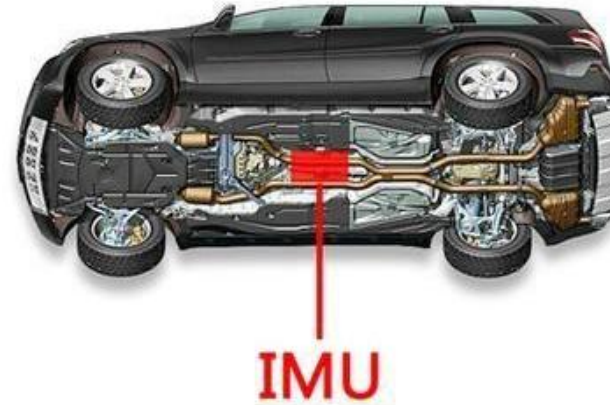
基于惯性单元的里程估计

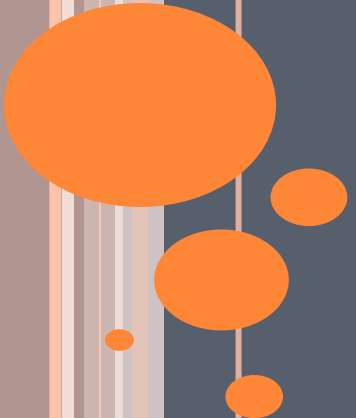
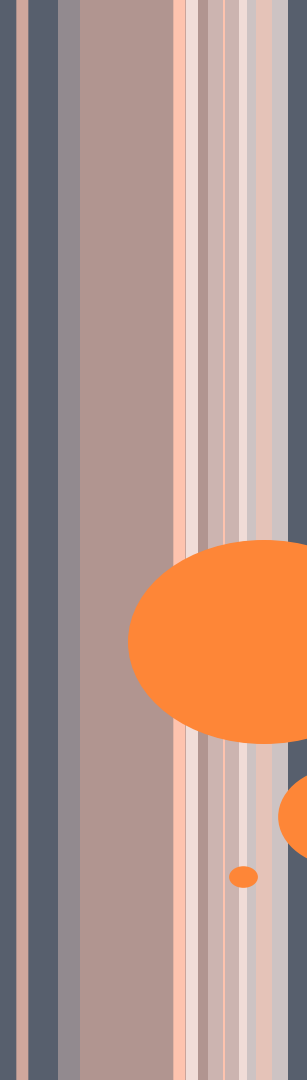
- 优点：

- 全天候
- 采样频率高
- 短时精度较好

- 缺点：

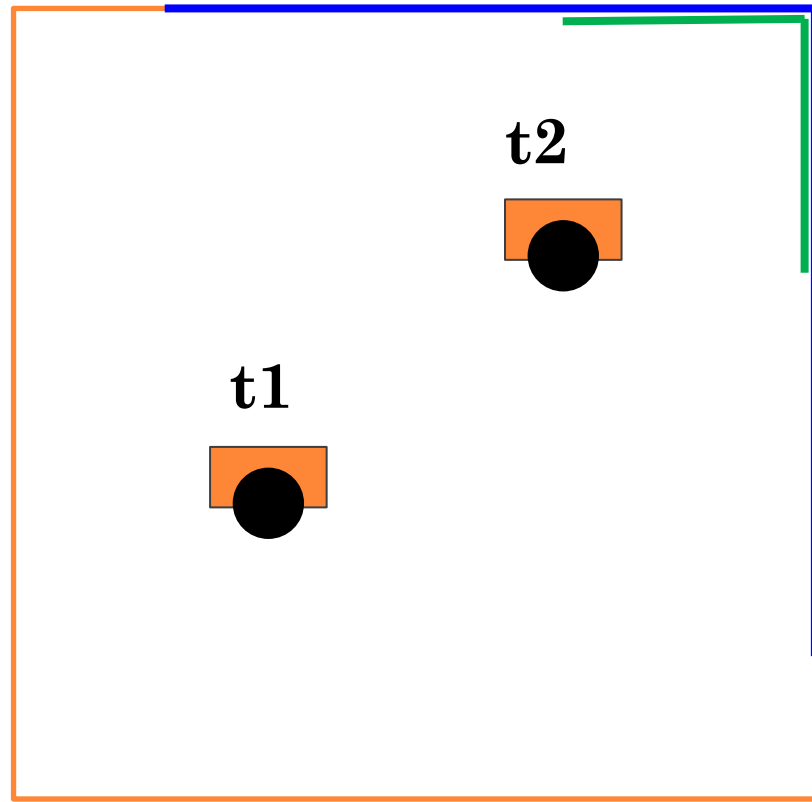
- 随着时间的增长累积误差较大，无法满足移动机器人长距离精确定位的要求，需要融合其它传感器进行组合导航



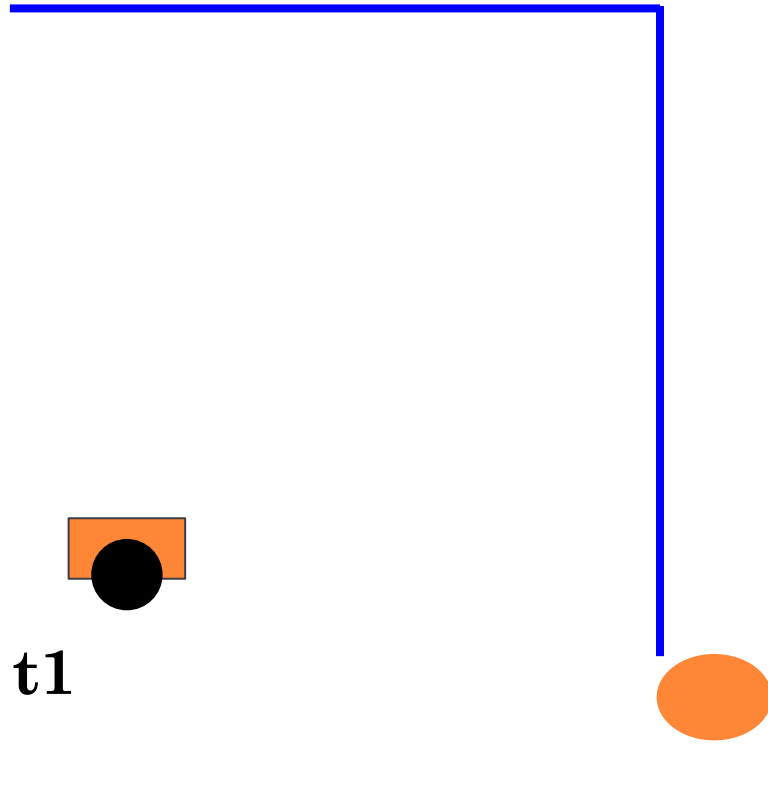
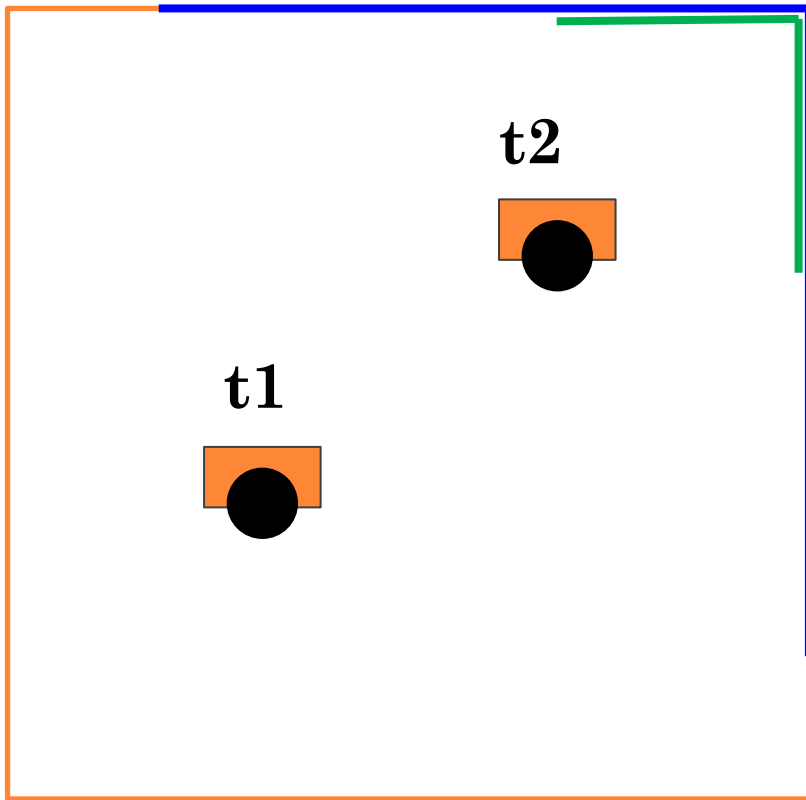


7.2 激光里程计

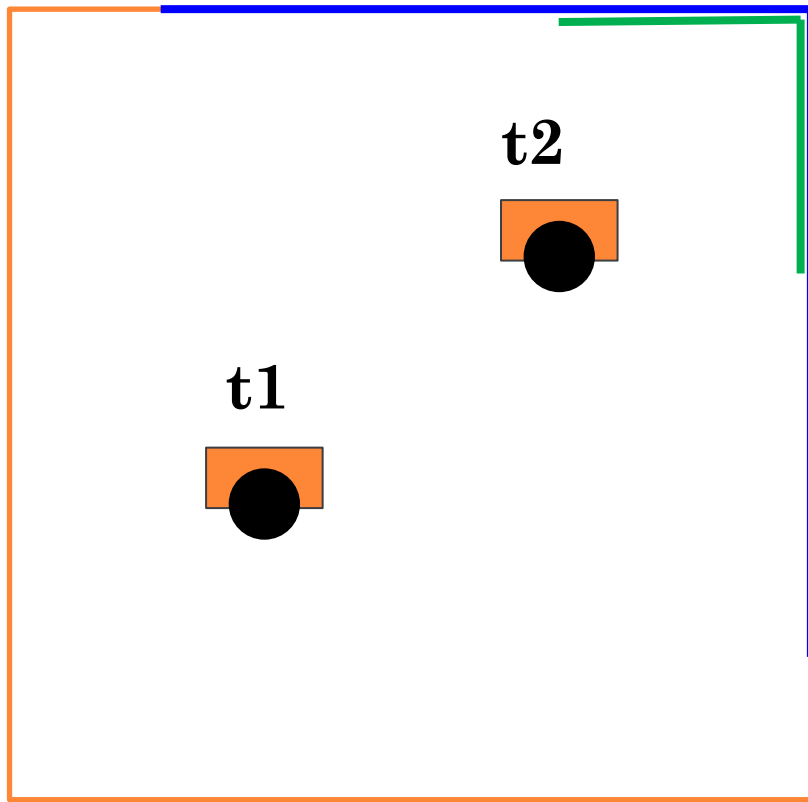
激光里程计



激光里程计



激光里程计



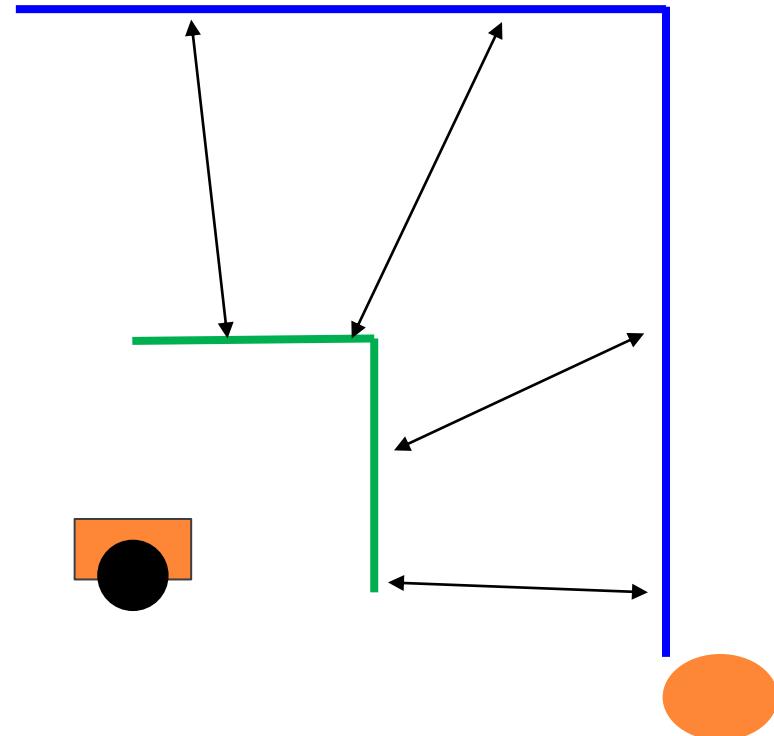
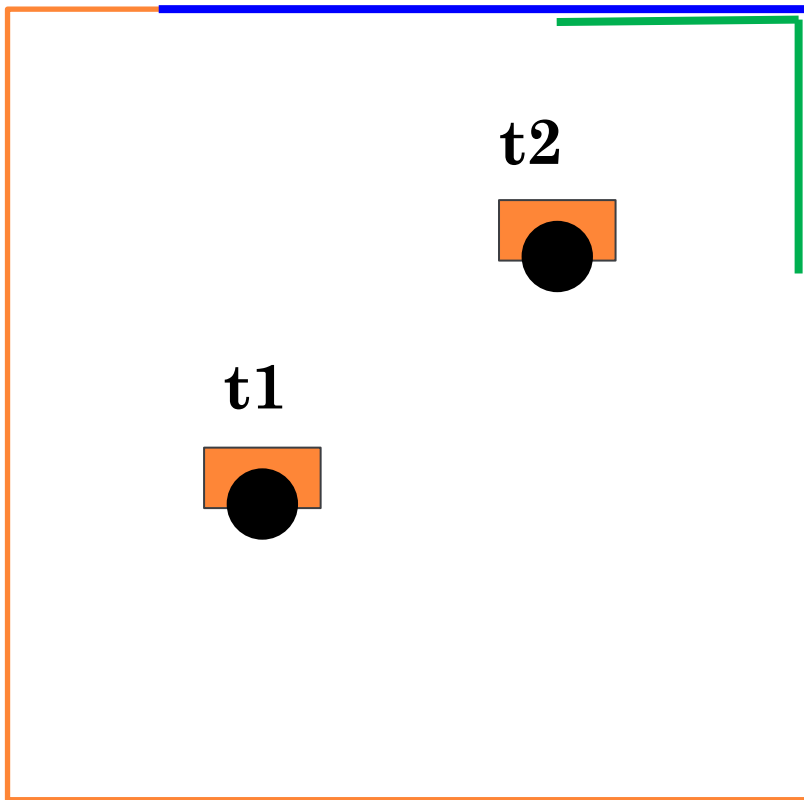
t_1

t_2

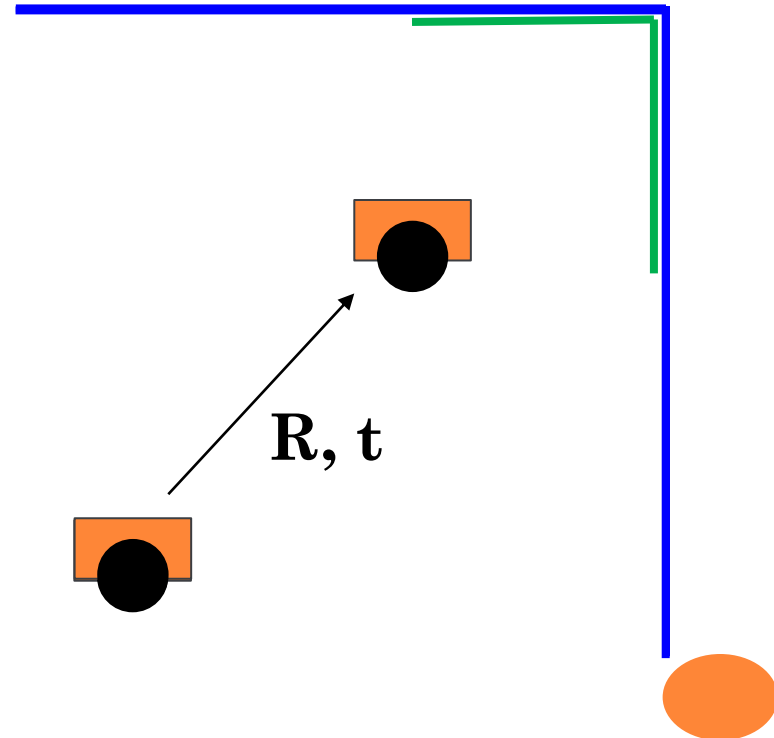
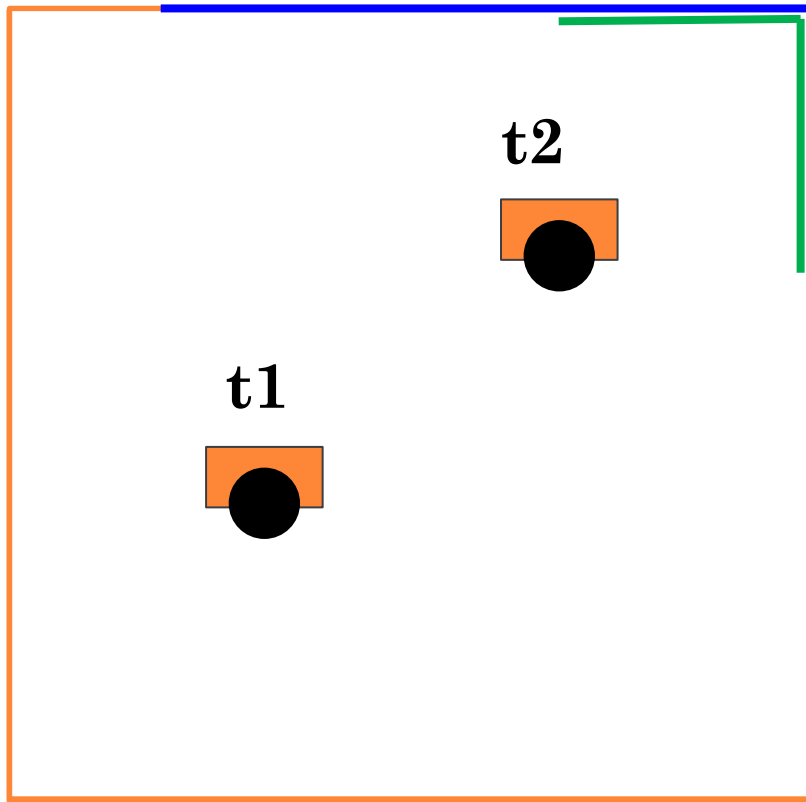
t_2



激光里程计

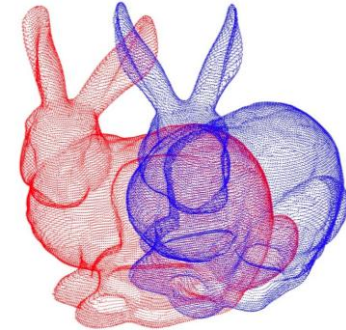


激光里程计

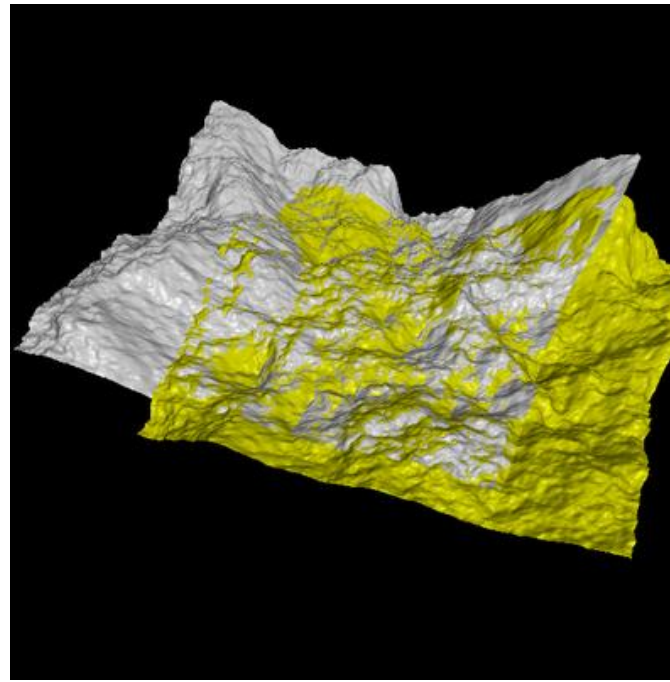


激光里程计

- 采用ICP(Iterative Closest Point)算法
 - 估计 P' 集合点与 P 集合点的初始位姿关系
 - 根据最近邻域规则建立 P' 集合点与 P 集合点的关联
 - 利用线性代数/非线性优化的方式估计旋转平移量
 - 对点集合 P' 的点进行旋转平移
 - 如果旋转平移后重新关联的均方差小于阈值，则结束
 - 否则迭代重复上述步骤



ICP实例



ICP

- **Point to Point**
- **Line to Line**
- **Plane to Plane**
- **Point to Line**
- **Point to Plane**
- **Line to Plane**



POINT-POINT ICP

- 输入：点集合 $P, P = \{p_1, \dots, p_n\}$
点集合 $P', P' = \{p'_1, \dots, p'_n\}$
- 目标：计算两组数据之间的旋转平移量 R, t ，使得两组数据形成最佳匹配，即两组数据的距离误差最小



POINT-POINT ICP

- 第*i*个匹配对点的误差为

$$e_i = p_i - (Rp'_i + t)$$

- 构建成最小二乘问题，求使得误差平方和达到最小的R,t

$$\min \frac{1}{2} \sum_{i=1}^n \|p_i - (Rp'_i + t)\|^2$$



线性代数求解方法

1. 定义两组点集合的质心位置 p, p'

$$p = \frac{1}{n} \sum_{i=1}^n p_i \quad p' = \frac{1}{n} \sum_{i=1}^n p'_i$$

2. 计算每个点的去质心坐标

$$q_i = p_i - p \quad q'_i = p'_i - p'$$

3. 根据以下优化问题计算旋转矩阵 $R^* = \operatorname{argmin} \frac{1}{2} \sum_{i=1}^n \|q_i - Rq'_i\|^2$

4. 根据 R 计算 t $t^* = p - R^*p'$

R, t 分解计算说明

$$\begin{aligned} \frac{1}{2} \sum_{i=1}^n \| \mathbf{p}_i - (\mathbf{R}\mathbf{p}'_i + \mathbf{t}) \|^2 &= \frac{1}{2} \sum_{i=1}^n \| \mathbf{p}_i - \mathbf{R}\mathbf{p}'_i - \mathbf{t} - \mathbf{p} + \mathbf{R}\mathbf{p}' + \mathbf{p} - \mathbf{R}\mathbf{p}' \|^2 \\ &= \frac{1}{2} \sum_{i=1}^n \| (\mathbf{p}_i - \mathbf{p} - \mathbf{R}(\mathbf{p}'_i - \mathbf{p}')) + (\mathbf{p} - \mathbf{R}\mathbf{p}' - \mathbf{t}) \|^2 \\ &= \frac{1}{2} \sum_{i=1}^n \| (\mathbf{p}_i - \mathbf{p} - \mathbf{R}(\mathbf{p}'_i - \mathbf{p}')) \|^2 + \| \mathbf{p} - \mathbf{R}\mathbf{p}' - \mathbf{t} \|^2 \\ \mathbf{p} = \frac{1}{n} \sum_{i=1}^n \mathbf{p}_i \quad \mathbf{p}' = \frac{1}{n} \sum_{i=1}^n \mathbf{p}'_i &\quad + \underline{2(\mathbf{p}_i - \mathbf{p} - \mathbf{R}(\mathbf{p}'_i - \mathbf{p}'))^T (\mathbf{p} - \mathbf{R}\mathbf{p}' - \mathbf{t})} \\ &\quad \boxed{\square} = 0 \end{aligned}$$

R, t 分解计算说明

优化目标函数简化为

$$\min \frac{1}{2} \sum_{i=1}^n \|(\mathbf{p}_i - \mathbf{p} - R(\mathbf{p}'_i - \mathbf{p}'))\|^2 + \|\mathbf{p} - Rp' - \mathbf{t}\|^2$$

左边只跟旋转矩阵 R 相关

右边既有 R 也有 t , 但是只跟质心相关

因此问题可以分解为两步法解决

求解R

$$\begin{aligned}\frac{1}{2} \sum_{i=1}^n \|(\mathbf{p}_i - \mathbf{p} - \mathbf{R}(\mathbf{p}'_i - \mathbf{p}'))\|^2 &= \frac{1}{2} \sum_{i=1}^n \|(\mathbf{q}_i - \mathbf{R}\mathbf{q}'_i)\|^2 \\ &= \frac{1}{2} \sum_{i=1}^n \mathbf{q}_i^T \mathbf{q}_i + \mathbf{q}'_i^T \mathbf{R}^T \mathbf{R} \mathbf{q}'_i - 2 \mathbf{q}_i^T \mathbf{R} \mathbf{q}'_i \\ &\quad \underbrace{\phantom{\frac{1}{2} \sum_{i=1}^n \mathbf{q}_i^T \mathbf{q}_i +} \mathbf{R}^T \mathbf{R}}_{=\mathbf{I}}\end{aligned}$$

与 R 无关

优化目标函数变为 $\max \sum_{i=1}^n \mathbf{q}_i^T \mathbf{R} \mathbf{q}'_i$



求解R

$$\sum_{i=1}^n \mathbf{q}_i^T \mathbf{R} \mathbf{q}'_i = \sum_{i=1}^n \text{tr}(\mathbf{q}_i^T \mathbf{R} \mathbf{q}'_i) = \sum_{i=1}^n \text{tr}(\mathbf{R} \mathbf{q}'_i \mathbf{q}_i^T) = \text{tr}\left(\mathbf{R} \sum_{i=1}^n \mathbf{q}'_i \mathbf{q}_i^T\right)$$

定义矩阵W $\mathbf{W} = \sum_{i=1}^n \mathbf{q}'_i \mathbf{q}_i^T$

对 W 进行SVD分解，可得 $\mathbf{W} = \mathbf{U} \mathbf{S} \mathbf{V}^T$

S 为奇异值组成的对角矩阵，对角线元素从大到小排列，其余为0

U 和 V 满足 $\mathbf{U}^T \mathbf{U} = \mathbf{I}$ $\mathbf{V}^T \mathbf{V} = \mathbf{I}$

求解R

- 目标函数上界

$$\text{tr}(RUSV^T) = \text{tr}(SV^T RU) \sim \text{tr}(SH)$$

$$H = \begin{pmatrix} h_1^T \\ h_2^T \\ h_3^T \end{pmatrix}$$

h是模为1的向量，
因此每个元素的模必小于1

$$\begin{aligned} \text{tr}(RUSV^T) &= \text{tr} \begin{pmatrix} s_1 h_1^T \\ s_2 h_2^T \\ s_3 h_3^T \end{pmatrix} = s_1 h_{11} + s_2 h_{22} + s_3 h_{33} \\ &\leq s_1 + s_2 + s_3 \end{aligned}$$



求解R

- 等号成立时

$$H = V^T R U = I$$

- 可得R

$$R = V U^T$$

- 进一步得到t

$$t = p - Rp'$$



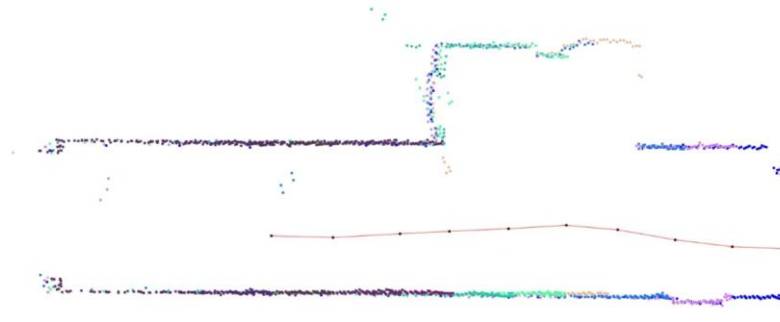
关于ICP的思考

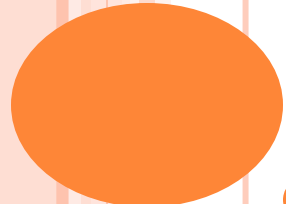
- ICP计算效率主要受什么影响？
- ICP迭代寻优会存在什么问题？
- 对于移动机器人来讲，两帧点云数据做ICP的初值如何获得？



作业

- 给定10帧移动机器人的二维激光点云，实现相邻之间的 ICP 点云匹配，进而航位推算得到机器人这10帧的轨迹，并进行局部点云地图合成
- 实现工具或语言不限制(C++, Python, Matlab 等选一种)
- ICP 类型不限制(点到点， 点到面等)





END